

Design, simulation and fabrication of perovskite solar cell based on V₂O₅/Ag/WO₃ transparent electrode

Madineh Nejadzangeneh¹, Mohsen Ghasemi^{*2,3}, Seyed Mohammad Bagher Ghorashi¹

¹Department of Laser and Photonics, Faculty of Physics, University of Kashan, Kashan, Iran

²Department of Physics, Faculty of Sciences, Shahrekord University, Shahrekord, Iran

³Nanotechnology Research Institute, Shahrekord University, Shahrekord, Iran

Received: 28.11.2021 Final revised: 24.11.2022 Accepted: 06.02.2023

Doi: [10.22055/jrmbs.2023.18129](https://doi.org/10.22055/jrmbs.2023.18129)

Abstract

In this research, using the characteristic matrix theory, the three-layer V₂O₅/Ag/WO₃ (VAW) electrode as a transparent conductive structure is designed and its optimal structure is determined. Then, a perovskite solar cell based on a VAW three-layer electrode with Glass/V₂O₅/Ag/WO₃/PEDOT:PSS/CH₃NH₃PbI₃/PCBM/Al structure is considered and the optical properties of the perovskite solar cell are investigated using the transfer matrix method (TMM). In the following, it is shown that the effects of changing the thickness of the WO₃ layer on the optical properties of the three-layer VAW and the perovskite solar cell based on the VAW electrode are more significant than the effects of changing the thickness of the layer V₂O₅. The maximum short circuit current density (19.3 mA/cm²) in the perovskite solar cell based on the VAW electrode was obtained for the thicknesses of the V₂O₅ layer of 40 nm and WO₃ layer of 55 nm, which is 12.2% higher than the calculated value for perovskite solar cell based on ITO electrode (17.2 mA/cm²). Finally, the perovskite solar cell based on the optimized VAW electrode was fabricated and the results showed that this solar cell has better performance than solar cell based on the commercial ITO electrode.

Keywords: Transparent conductive electrode, Dielectric/metal/dielectric, Perovskite solar cell, Simulation, Shortcut circuit current density

*Corresponding Author: ghasemi.mohsen@sku.ac.ir

طراحی، شبیه‌سازی و ساخت سلول خورشیدی پروسکایتی بر پایه الکترود

V₂O₅/Ag/WO₃ شفاف

مدینه نژاد زنگنه^۱، محسن قاسمی^{۲,*}، سید محمد باقر فریشی^۱

^۱ گروه لیزر و فوتونیک، دانشکده فیزیک، دانشگاه کاشان، کاشان، ایران

^۲ گروه فیزیک، دانشکده علوم، دانشگاه شهرکرد، شهرکرد، ایران

^۳ پژوهشکده فناوری نانو، دانشگاه شهرکرد، شهرکرد، ایران

دریافت: ۱۴۰۰/۰۹/۰۷ ویرایش نهایی: ۱۴۰۱/۰۹/۰۳ پذیرش: ۱۴۰۱/۱۱/۱۷

Doi: [10.22055/jrms.2023.18129](https://doi.org/10.22055/jrms.2023.18129)

چکیده

در این پژوهش الکترود سه‌لایه‌ای (VAW) به عنوان یک ساختار رسانای شفاف با استفاده از روش ماتریس مشخصه طراحی و ساختار بهینه آن تعیین می‌شود. سپس یک سلول خورشیدی پروسکایتی بر پایه الکترود سه‌لایه‌ای VAW با ساختار Glass/V₂O₅/Ag/WO₃/PEDOT:PSS/CH₃NH₃PbI₃/PCBM/Al از نظر گرفته می‌شود و با استفاده از فرمول بنده ماتریس انتقال، ویژگی‌های اپتیکی سلول خورشیدی پروسکایتی بررسی می‌شود. در ادامه نشان داده می‌شود که اثر تغییر ضخامت لایه WO₃ روی ویژگی‌های اپتیکی سه‌لایه‌ای VAW و سلول خورشیدی پروسکایتی بر پایه الکترود VAW چشمگیرتر از اثر تغییر ضخامت لایه دی الکتریک V₂O₅ است. مقدار بیشینه چگالی جریان مدار کوتاه ۱۹.۳mA/cm² در سلول خورشیدی پروسکایتی، برای ضخامت لایه اکسید واندیوم ۴۰ نانومتر و ضخامت لایه اکسید تنگستن ۵۵ نانومتر بدست آمد که از مقدار محاسبه شده برای سلول خورشیدی پروسکایتی با الکترود ITO ۱۷.۲mA/cm² بیشتر است. در نهایت سلول خورشیدی پروسکایتی بر پایه الکترود بهینه شده VAW ساخته شد و نتایج نشان دادند که این سلول خورشیدی کارآبی بهتری نسبت به سلول خورشیدی بر پایه الکترود تجاری ITO دارد.

کلیدواژگان: الکترود رسانای شفاف، دی الکتریک/فلز/دی الکتریک، سلول خورشیدی پروسکایتی، شبیه‌سازی، چگالی جریان

مدار کوتاه

کرده‌اند و بازده تبدیل توان گزارش شده برای آنها به ۲۵ درصد رسیده است [۴]. یکی از پارامترهای مهم برای دستیابی به سلول‌های خورشیدی پروسکایتی با بازده بالا، ویژگی‌های الکترود شفاف آنهاست [۵]. الکترودهای شفاف باید هم‌زمان رسانایی سطحی و شفافیت اپتیکی بالایی داشته باشند. اکسید ایندیوم آلاییده شده با قلع^۱ (ITO) مرسوم‌ترین و در

مقدمه

پروسکایت‌های هیبریدی آلی-معدنی بدلیل ویژگی‌هایی نظیر گاف نواری قابل تنظیم، ضریب جذب بالا، تحرک‌پذیری و طول پخش زیاد حامل‌ها و همچنین قیمت پایین، گزینه مناسبی برای استفاده در سلول‌های خورشیدی هستند [۱-۳]. سلول‌های خورشیدی پروسکایتی در سال‌های اخیر به سرعت رشد

* نویسنده مسئول: ghasemi.mohsen@sku.ac.ir

^۱ Indium Tin Oxide

باز نشر این مقاله با ذکر منبع آزاد است.

این مقاله تحت مجوز کریتو کامنز تخصیص ۴.۰ بین‌المللی می‌باشد.



شفافیت اپتیکی این ساختارها را کنترل کرد [۶]. ساختارهای متقارن دیالکتریک/فلز/دیالکتریک مانند $\text{AZO}/\text{Ag}/\text{AZO}$, $\text{WO}_3/\text{Ag}/\text{WO}_3$ و $\text{TiO}_2/\text{Ag}/\text{TiO}_2$, $\text{SnO}_2/\text{MoO}_3/\text{Metal}/\text{MoO}_3$ برخی ساختارهای نامتقارن نظیر $\text{WO}_3/\text{Ag}/\text{SnO}_2$ و $\text{WO}_3/\text{Ag}/\text{MoO}_3$ به عنوان الکترود شفاف گزارش شده است [۱۷-۱۱]. در این پژوهش الکترود چند لایه‌ای با ساختار نامتقارن (VAW) $\text{V}_2\text{O}_5/\text{Ag}/\text{WO}_3$ برای اولین بار طراحی می‌شود. از پتاکسید وانادیوم (V_2O_5) به عنوان یک الکترود جایگزین مناسب برای ITO به خاطر ضریب شکست بالا، شفافیت بالا در ناحیه مرئی و ثبات شیمیایی استفاده شده است [۱۸]. لایه Ag به خاطر رسانندگی بالا و جذب کمتر در ناحیه مرئی نسبت به بقیه فلزات انتخاب شده است [۱۹]. لایه اکسید تنگستن WO_3 علاوه بر داشتن شفافیت بالا، دارای تابع کار مناسب و تحرک پذیری بالای حامل بار است که می‌تواند نقش لایه بافر مناسب بین آند و لایه آلی انتقال دهنده حفره را بازی کند [۲۰]. علاوه بر این WO_3 به عنوان داشتن گاف نواری بالا می‌تواند سدی برای جریان الکtron‌ها شود و در نتیجه به عنوان لایه سدکننده الکترون نیز می‌تواند ایفای نقش کند [۲۱]. با استفاده از چارچوب اپتیک لایه‌های نازک و نظریه ماتریس مشخصه، ویژگی‌های اپتیکی چند لایه‌ای ماتریس مشخصه، ویژگی‌های اپتیکی لایه‌های نازک و نظریه ماتریس مشخصه، ویژگی‌های اپتیکی یک سلول خورشیدی ادامه، با استفاده از روش اسمیت و فرمول‌بندی ماتریس انتقال، ویژگی‌های اپتیکی یک سلول خورشیدی پروسکایتی با الکترود بهینه شده $\text{V}_2\text{O}_5/\text{Ag}/\text{WO}_3$ تعیین و تجزیه و تحلیل می‌شود. در نهایت سلول خورشیدی پروسکایتی بهینه شده بر پایه الکترود VAW ساخته شده و با سلول خورشیدی پروسکایتی بر پایه الکترود مرسوم و تجاری ITO مقایسه می‌شود.

دسترسی‌ترین الکترود شفاف با ویژگی‌های اپتیکی و الکتریکی مناسب است [۶]. با این حال شکننده است و ویژگی‌های آن در دمای بالا تغییر می‌کند که کاربرد آن را برای ادوات انعطاف‌پذیر محدود می‌کند. علاوه بر این ذخیره ایندیوم محدود است و استفاده از ITO به معنی تحلیل بیشتر ایندیوم در آینده نزدیک است [۷]. اکسید قلع آلایده شده با فلوئور (FTO)، هم یکی دیگر از الکترودهای شفاف مورد استفاده در سلول‌های خورشیدی پروسکایتی است که دارای مقاومت سطحی نسبتاً پایین است [۵]. اکسیدهای فلزی شفافیت خوبی در ناحیه مرئی دارند ولی رسانندگی سطحی خوبی از خود نشان نمی‌دهند و فرآیند آلایش برای بالا بردن رسانندگی شان هم فرآیندی دما بالاست [۸]. لایه‌های فلزی بسیار نازک هم علی‌رغم داشتن مقاومت سطحی پایین، شفافیت پایینی در ناحیه مرئی دارند و پایداری محیطی آنها نیز کم است [۸]. نانولوله‌های کربنی و گرافن هم با وجود داشتن انعطاف‌پذیری خوب، نسبت به ITO مقاومت الکتریکی بالایی دارند [۹، ۱۰]. ساختارهای چندلایه‌ای دیالکتریک/فلز/دیالکتریک که در دیودهای نورگسیل آلی و سلول‌های خورشیدی آلی مورد استفاده قرار گرفته‌اند، گزینه‌های رقابتی برای جایگزینی الکترود ITO به شمار می‌روند [۱۱]. این ساختارها ویژگی‌های امیدوارکننده‌ای نظیر خواص الکتریکی و اپتیکی قابل تنظیم از طریق تغییر ضخامت و جنس مواد، انباست در دمای محیط، پایداری مکانیکی قابل انعطاف، یکنواختی سطحی قابل قبول و پایداری دمایی مناسب دارند. رسانایی الکتریکی این چند لایه‌ای‌ها اغلب به ضخامت فلز بستگی دارد که برای گذار از جزایر مجزا به لایه پیوسته باید ضخامت لایه فلزی در حدود ۲۰-۱۰ نانومتر انتخاب شود. با انتخاب مواد مناسب و ضخامت لایه‌های دیالکتریک می‌توان

$$\eta_r = \begin{cases} N_r \cos \theta_r = (n_r - ik_r) \cos \theta_r & s \\ \frac{N_r}{\cos \theta_r} = \frac{(n_r - ik_r)}{\cos \theta_r} & p \end{cases} \quad ۲$$

$$\delta_r = \frac{2\pi}{\lambda} N_r \cos \theta_r \quad ۳$$

در نهایت ضریب عبور و بازتاب به صورت زیر محاسبه می‌شوند:

$$T = \frac{4\eta_0 \operatorname{Re}(\eta_m)}{(\eta_0 B + C)(\eta_0 B + C)^*} \quad ۴$$

$$R = \left(\frac{\eta_0 B - C}{\eta_0 B + C} \right) \left(\frac{\eta_0 B - C}{\eta_0 B + C} \right)^* \quad ۵$$

که اندیس ۰ مربوط به محیط ورودی و اندیس m مربوط به زیرلایه است [۲۳]. مقاومت سطحی ساختار چندلایه‌ای رسانای شفاف هم از معادله زیر قابل محاسبه است:

$$R_{sh} = \frac{Z_0}{2} \left(\frac{1}{\sqrt{R}} - 1 \right) \quad ۶$$

که در آن R بازتاب در ناحیه فروسرخ، R_{sh} مقاومت سطحی، $Z_0 = ۳۷۷\Omega$ امپدانس فضای آزاد است. رابطه ۶ ناشی از بازتاب در ناحیه فروسرخ توسط الکترون‌های رسانش است. در اینجا بازتاب در طول موج ۱۷۰۰ نانومتر می‌تواند به عنوان معیاری برای بازتاب در ناحیه فروسرخ به کار برد شود [۲۴]. ضریب شایستگی^۲ برای بررسی و مقایسه عملکرد لایه‌های رسانای شفاف تعریف شده است و شاخص مهمی است که رابطه بین خواص الکتریکی و اپتیکی پوشش‌های رسانای شفاف

تئوری

در این بخش ابتدا ویژگی‌های الکتروپاتیکی سه لایه‌ای دیالکتریک/فلز/دیالکتریک^۱ (DMD)^۱ به تنهایی و سپس ویژگی‌های سلول خورشیدی با الکترود شفاف DMD فرمول‌بندی می‌شود.

ویژگی‌های الکتروپاتیکی چند لایه

دیالکتریک/فلز/دیالکتریک

ویژگی‌های اپتیکی چندلایه‌ای‌های دیالکتریک/فلز/دیالکتریک را می‌توان با استفاده از اپتیک لایه‌های نازک و تئوری ماتریس مشخصه بررسی و تحلیل کرد. در این تئوری فرض می‌شود که تمام لایه‌های انباست شده تخت و همگن هستند، نور از یک زیرلایه نیمه بی‌نهایت که در آن ضخامت زیرلایه از لایه‌های روی آن بسیار بزرگ‌تر است در راستای عمود وارد ساختار چندلایه‌ای می‌شود و کل ساختار توسط هوا احاطه شده است. این مدل بعد از وارد کردن ضریب شکست مختلط و ضخامت هر لایه به عنوان داده‌های ورودی، امکان محاسبه طیف تراگسیل، بازتاب و جذب کل ساختار چندلایه‌ای را فراهم می‌کند [۲۲]. براساس این تئوری، برای ساختارهای چندلایه‌ای که نور از چندین مرز عبور می‌کند، رابطه بین موج فرودی و عبوری به صورت زیر است:

$$\begin{pmatrix} B \\ C \end{pmatrix} = \left\{ \prod_{r=1}^k \begin{bmatrix} \cos \delta_r & \frac{i \sin \delta_r}{\eta_r} \\ i \eta_r \sin \delta_r & \cos \delta_r \end{bmatrix} \right\} \begin{bmatrix} 1 \\ \eta_m \end{bmatrix} \quad ۱$$

که در آن k تعداد لایه‌های است. δ_r ضخامت فازی و η_r گذرایی اپتیکی مختلط هر لایه است که به صورت زیر تعریف می‌شوند:

^۲ Figure of Merit

^۱ Dielectric Metal Dielectric

ورودی به لایه‌های ۱ تا m که بین محیط شفاف و زیرلایه ساندویچ شده‌اند را نشان می‌دهد. در هر نقطه x داخل ساختار در لایه j ام در نظر گرفته می‌شود و میدان الکتریکی از مؤلفه مثبت $E_j^+(x)$ و یک مؤلفه منفی $E_j^-(x)$ تشکیل شده است. در فصل مشترک لایه j و k انتشار میدان الکتریکی به وسیله ماتریس مرزی I_{jk} به صورت زیر توصیف می‌شود:

$$I_{jk} = \frac{1}{t_{jk}} \begin{bmatrix} 1 & r_{jk} \\ r_{jk} & 1 \end{bmatrix} \quad 9$$

که t_{jk} و r_{jk} به ترتیب ضرایب بازتاب و عبوری برای یک موج تخت در مرز بین لایه j و k است. از طرف دیگر با انتشار نور در لایه تغییر فاز به وجود می‌آید که با ماتریس انتقال فاز به صورت زیر توصیف می‌شود:

$$I_j = \begin{bmatrix} e^{-ik_j d_j} & 0 \\ 0 & e^{ik_j d_j} \end{bmatrix}, k_j = \frac{2\pi N_j \cos \theta_j}{\lambda} \quad 10$$

که N_j و d_j ضریب شکست مختلط و ضخامت لایه j ام و θ_j زاویه شکست نور در لایه j ام است. رابطه میدان الکتریکی محیط‌های پیرامون (لایه‌های خارجی ۰ام و $m+1$ ام) به صورت زیر محاسبه می‌شود:

$$\begin{bmatrix} E_0^+ \\ E_0^- \end{bmatrix} = S \begin{bmatrix} E_{m+1}^+ \\ E_{m+1}^- \end{bmatrix} \quad 11$$

که S ماتریس انتقال کل ساختار است و با ضرب ماتریس‌های انتقال به صورت زیر بدست می‌آید:

$$S = \begin{bmatrix} S_{11} & S_{12} \\ S_{21} & S_{22} \end{bmatrix} = (\prod_{v=1}^m I_{(v-1)v} L_v) I_{m(m+1)} \quad 12$$

رابطه کلی که توزیع میدان الکتریکی در هر لایه j در ساختار را توصیف می‌کند به صورت زیر بیان می‌شود:

$$E_j(x) = E_j^+(x) + E_j^-(x) = t_j^+ \left[e^{-ik_j x} + r_j'' e^{-ik_j(2d_j - x)} \right] E_0^+ \quad 13$$

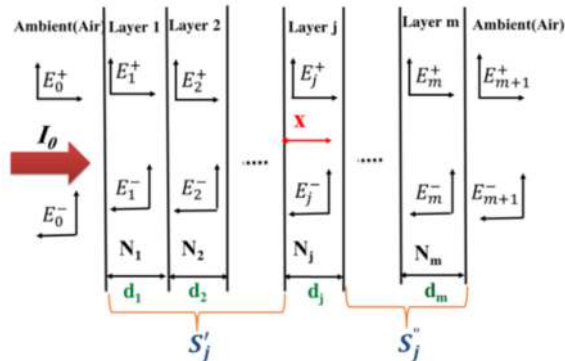
را نشان می‌دهد. این کمیت توسط هاک^۱ به صورت زیر تعریف شده است [۲۵]:

$$F_{TC} = \frac{T_{av}^{10}}{R_{sh}} \quad ۷$$

میانگین عبور اپتیکی الکترود شفاف در گستره طول موج نور خورشید است که به صورت زیر محاسبه می‌شود:

$$T_{av} = \frac{\int T(\lambda) u_{AM1.5}(\lambda) d\lambda}{\int u_{AM1.5}(\lambda) d\lambda} \quad ۸$$

که $T(\lambda)$ طیف تراگسیل الکترود شفاف و $u_{AM1.5}(\lambda)$ طیف چگالی شار نور خورشید است.



شکل ۱. ساختار چند لایه و میدان‌های الکتریکی داخل آن.

ویژگی‌های اپتیکی سلول‌های خورشیدی پروسکایتی مبتنی بر الکترود چند لایه دی الکتریک/فلز/دی الکتریک

با استفاده از روش ماتریس انتقال و بر اساس مدل پترسون [۲۶] می‌توان خصوصیات اپتیکی سلول خورشیدی پروسکایتی را پیش‌بینی کرد. این روش فرض می‌کند تمام لایه‌ها همگن و همسان‌گرد باشند، فصل مشترک لایه‌ها مسطح و موازی‌اند و موج فرودی را با امواج تخت توصیف می‌کند. شکل ۱ موج‌های

^۱ Haacke

$$\left|E_j(x, \lambda)\right|^2 = \frac{n_0}{n_j} T_{DMD}(\lambda) \times \\ \frac{e^{-\alpha_j x + R_m} e^{-\alpha_j(2d_j - x)} + 2\sqrt{R_m} \cos\left[\frac{4\pi n_j}{\lambda}(d_j - x)\right]}{\left|1 - \sqrt{R_m} \frac{R_{DMD}}{n_j} e^{-\alpha_j d_j} e^{-i\Delta\varphi_j}\right|^2} \quad 19$$

$$\Delta\varphi_j = \varphi_m + \varphi_{DMD} + \sum_i \frac{4\pi n_i}{\lambda} d_i, \quad 20$$

$$\alpha = \frac{4\pi k}{\lambda}$$

که T_{DMD} و R_{DMD} به ترتیب ضریب عبور و بازتاب از الکترود سه لایه DMD φ_m و φ_{DMD} به ترتیب اختلاف فاز ناشی از بازتاب از سطح الکترود فلزی و الکترود سه لایه DMD است. اندیس i شامل لایه‌های بین دو الکترود است (مانند لایه انتقال دهنده حفره (HTL)، لایه فعال و لایه انتقال دهنده الکترون (ETL)). هنگامی که در سلول‌های خورشیدی لایه فعال توسط دو الکترود بازتابنده ساندویچ می‌شود، میکروکاواک نوری تشکیل می‌شود. به منظور دستیابی به یک تشید قوی در یک ساختار میکروکاواکی، ضخامت لایه فعال باید قبل مقایسه یا کوچکتر از طول موج نور مرئی باشد. در کاواک ممکن است تداخل سازنده یا مخرب رخ دهد. در اینجا برای یک طول موج معین λ شرایط تشید نوری زمانی رخ می‌دهد که $\Delta\varphi_j = m\lambda/2$ که منجر به بیشینه جذب در لایه جاذب می‌شود [۳]. تغییر در هر کدام از لایه‌های دو الکترود فلزی منجر به تغییر ساختار کاواک و ویژگی‌های آن می‌شود. با استفاده از رابطه ۱۹ می‌توان متوسط انرژی جذب شده در واحد زمان را به صورت زیر بدست آورد:

$$Q(x, \lambda) = \frac{1}{2} c \epsilon_0 \alpha n |E(x, \lambda)|^2 \quad 21$$

و در حالت ایده‌آل چگالی جریان مدار کوتاه نیز به صورت زیر قابل محاسبه است [۲۹]:

میدان الکتریکی نور ورودی از محیط پیرامون است. t_j^+ و r_j'' به ترتیب ضرایب عبور و بازتاب مختلط لایه زام هستند و به صورت زیر محاسبه می‌شوند:

$$t_j^+ = [S'_{j11} + S'_{j12} r_j'' e^{-2ik_j d_j}]^{-1} \quad 14$$

$$r_j'' = S''_{j11} / S''_{j11} \quad 15$$

S'_j و S''_j به ترتیب ماتریس‌های انتقال مجموعه لایه‌های قبل و بعد لایه زام هستند و به صورت زیر تعیین می‌شوند:

$$S'_j = \begin{bmatrix} S'_{j11} & S'_{j12} \\ S'_{j21} & S'_{j22} \end{bmatrix} = (\prod_{v=1}^{j-1} I_{(v-1)v} L_v) I_{(j-1)j} \quad 16$$

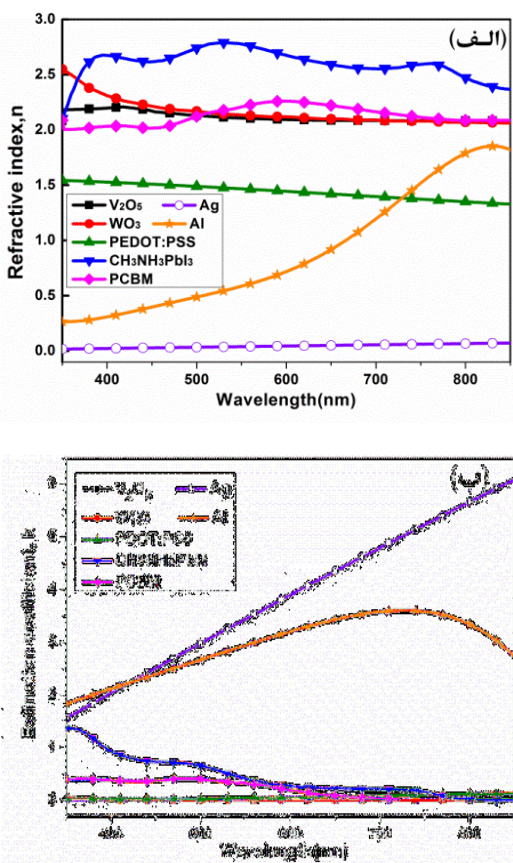
$$S''_j = \begin{bmatrix} S''_{j11} & S''_{j12} \\ S''_{j21} & S''_{j22} \end{bmatrix} = (\prod_{v=j+1}^m I_{(v-1)v} L_v) I_{m(m+1)} \quad 17$$

در واقع S'_j و S''_j ماتریس‌های انتقال جزئی‌اند که به صورت $S = S'_j L_j S''_j$ با ماتریس انتقال کل مرتبط‌اند [۲۷]. با جایگذاری روابط ۱۴ و ۱۵ در رابطه ۱۳ میدان الکتریکی در نقطه x در لایه زام می‌تواند به صورت زیر بازنویسی شود:

۱۸

$$E_j(x) = \frac{S''_{j11} e^{-ik_j(d_j - x)} + S''_{j21} e^{ik_j(d_j - x)}}{S'_{j11} S''_{j11} e^{-ik_j d_j} + S'_{j12} S''_{j21} e^{ik_j d_j}} E_0^+ \quad 18$$

برای سلول خورشیدی با الکترود سه لایه‌ای دی‌الکتریک/فلز/دی‌الکتریک (DMD)، با محاسبه ماتریس‌های انتقال جزئی و جایگذاری عناصر آن در رابطه بالا، مجدور میدان الکتریکی در لایه فعال به صورت زیر بدست می‌آید:

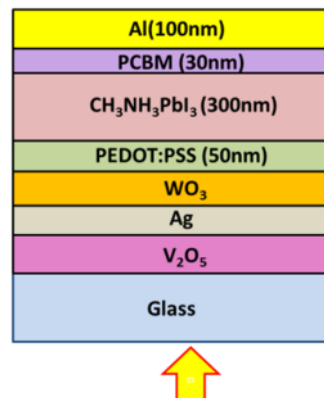


شکل ۳. ثوابت اپتیکی مواد استفاده شده در این مطالعه، (الف) ضریب شکست حقیقی n (ب) ضریب خاموشی K [۲۰-۲۷].

شبیه‌سازی‌های این پژوهش در نرم‌افزار Mathcad انجام شده است و ضرایب شکست لایه‌ها بر حسب طول موج و ضخامت هر لایه به عنوان ورودی‌های مسئله هستند. ضرایب شکست مختلط مورد استفاده در این کار از مقالات تجربی مراجع [۲۵-۳۰] و [۲۸-۳۱] استخراج و در شکل ۳ نمایش داده شده است.

$$J_{SC} = e \iint \frac{Q(x,\lambda) \lambda}{hc} d\lambda dx$$

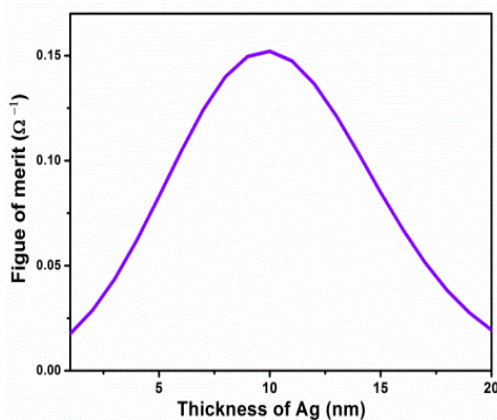
که در آن h ثابت پلاتک، c سرعت نور در خلاء و e بار الکترون است.



شکل ۲. طرح نمادین سلول خورشیدی شبیه‌سازی شده.

نتایج شبیه‌سازی

ساختار کلی سلول خورشیدی بررسی شده در این پژوهش در شکل ۲ الف نشان داده شده است. در این سلول خورشیدی با ساختار معکوس، سه لایه‌ای $CH_3NH_3PbI_3$ به عنوان الکترود شفاف دی‌الکتریک/فلز/دی‌الکتریک (DMD)، PEDOT:PSS به عنوان لایه انتقال دهنده حفره (HTL)، لایه پروسکایت $CH_3NH_3PbI_3$ به عنوان لایه فعال، PCBM به عنوان لایه انتقال دهنده الکترون و لایه Al کاتد است. در تمام مراحل شبیه‌سازی قسمت‌های Al تنها ضخامت لایه‌های سه لایه‌ای VAW تغییر می‌کنند و بقیه لایه‌ها ضخامت‌شان به صورتی که در شکل ۲ نشان داده شده، ثابت است.

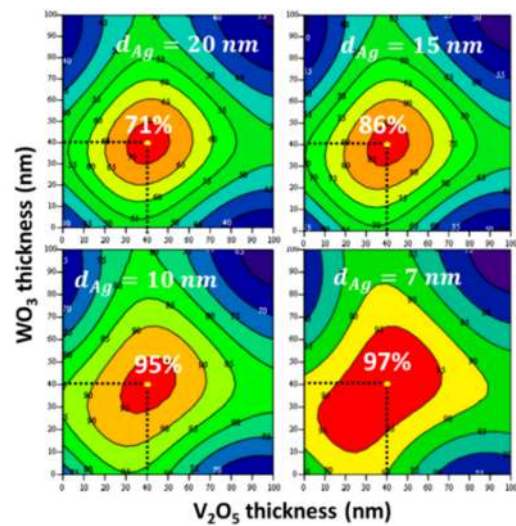


شکل ۵. تغییرات ضریب شایستگی با تغییر ضخامت لایهٔ نقره را وقته که ضخامت لایهٔ V_2O_5 ۴۰ نانومتر و ضخامت لایهٔ WO_3 ۴۰ نانومتر.

ضخامتی از Ag که در آن ضریب شایستگی ماکریزم می‌شود، می‌بایست محاسبه شود. شکل ۵ تغییرات ضریب شایستگی با تغییر ضخامت لایهٔ نقره را وقته که ضخامت لایهٔ V_2O_5 ۴۰ نانومتر و ضخامت لایهٔ WO_3 ۴۰ نانومتر باشد نشان می‌دهد و مشخص است ضخامت ۱۰ نانومتر لایهٔ نقره، بیشترین مقدار ضریب شایستگی را دارد. پس ساختار بهینه سه لایه‌ای VAW برای داشتن همزمان شفافیت اپتیکی بالا و مقاومت سطحی است.

تأثیر ضخامت لایه‌های WO_3 و V_2O_5 بر ویژگی‌های سلول خورشیدی پروسکایتی پایه الکترود VAW

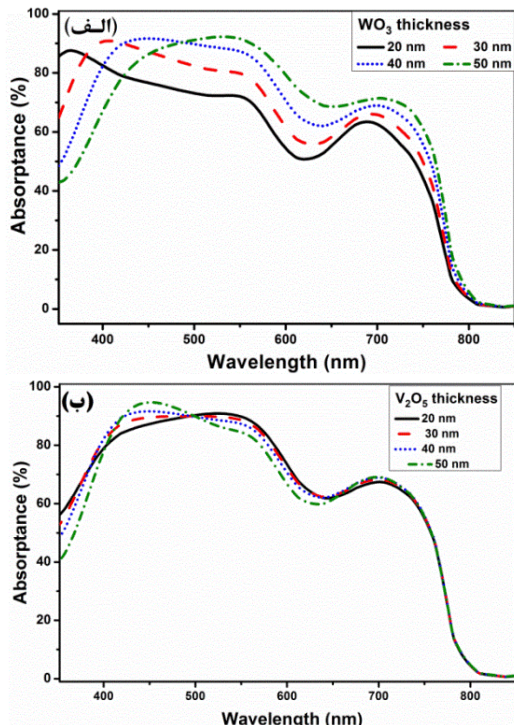
در قسمت قبل ویژگی اپتیکی سه لایه‌ای VAW به تنهایی بررسی شد، در حالی که برای تکمیل بررسی مؤثر بودن الکترود شفاف VAW برای استفاده در سلول خورشیدی باید ویژگی‌های سلول خورشیدی پروسکایتی با این الکترود نیز بررسی شود. شکل ۶ طیف جذب در لایهٔ فعال سلول خورشیدی پیشنهادی را نشان می‌دهد که در نمودار عالف ضخامت لایهٔ V_2O_5 و Ag ثابت و برابر مقدار بهینه به دست آمده در قسمت قبل، یعنی به ترتیب ۴۰ و ۱۰ نانومتر در نظر گرفته شده



شکل ۶. تغییرات ضریب عبور متوسط در ناحیهٔ مرئی T_{av} نسبت به تغییر ضخامت لایه‌های V_2O_5 و WO_3 برای مقادیر مختلف ضخامت لایهٔ نقره.

بهینه‌سازی خواص اپتیکی سه لایه‌ای VAW

یکی از پارامترهای مهم برای بررسی کیفیت الکترود شفاف، شفافیت آنها در ناحیهٔ مرئی است. در اینجا ضریب عبور نور وقتی از سمت زیرلایهٔ شیشه‌ای وارد سه لایه‌ای $\text{V}_2\text{O}_5/\text{Ag}/\text{WO}_3$ (VAW) می‌شود و از لایه PEDOT:PSS خارج می‌شود محاسبه و ضریب عبور متوسط در ناحیهٔ مرئی T_{av} بهینه می‌شود. شکل ۶ ضریب عبور در ناحیهٔ مرئی را بر حسب تغییر ضخامت لایه‌های دی‌الکتریک V_2O_5 و WO_3 نشان می‌دهد، در حالی که برای هر کدام از شکل‌ها ضخامت لایهٔ فلزی Ag ثابت است. همان‌طور که برای همه ضخامت‌های Ag ، بیشینه T_{av} زمانی اتفاق می‌افتد که ضخامت لایهٔ اکسید وانادیوم ۴۰ نانومتر و ضخامت لایهٔ اکسید تنگستن ۴۰ نانومتر باشد، یعنی با تغییر ضخامت لایه Ag ، ضخامت‌های بهینه V_2O_5 و WO_3 تغییر نمی‌کند و لی مقدار تراگسیل متوسط بیشینه در ناحیهٔ مرئی و در نتیجه ضریب شایستگی تغییر می‌کند.



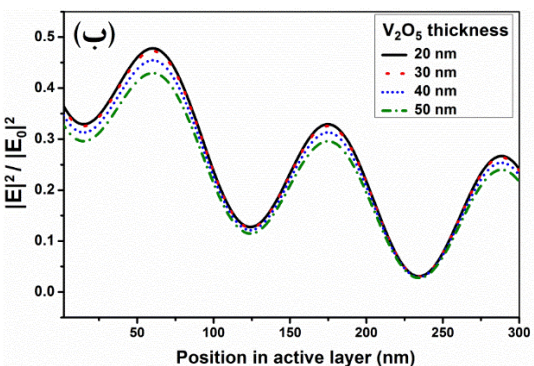
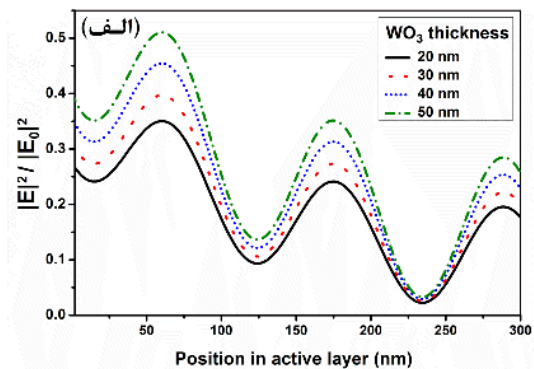
شکل ۶. جذب محاسبه شده در لایه فعال سلول خورشیدی پروسکایتی مورد بررسی الف: برای ضخامت‌های متفاوت لایه WO_3 ب: برای ضخامت‌های متفاوت لایه V_2O_5 .

میانگین جذب در لایه فعال پروسکایت در محدوده طول موج از ۴۰۰ تا ۸۰۰ نانومتر به عنوان تابعی از ضخامت لایه‌های V_2O_5 و WO_3 در شکل ۷ نشان داده شده است. همان‌گونه که مشخص است بیشینه میانگین جذب ($V_{2\text{O}_5}$ درصد) در ضخامت ۴۰ نانومتر لایه V_2O_5 و ۵۰ نانومتر لایه WO_3 رخ می‌دهد. مشاهده می‌شود برای یک ضخامت ثابت ۵۰ نانومتر از WO_3 ، وقتی ضخامت لایه V_2O_5 صفر تا صد نانومتر تغییر می‌کند، میانگین جذب در محدوده ۶۰-۷۳ درصد تغییر می‌کند و برای یک ضخامت ثابت ۴۰ نانومتر از V_2O_5 ، وقتی ضخامت لایه WO_3 صفر تا صد نانومتر تغییر می‌کند، میانگین جذب در محدوده ۵۰-۷۳ درصد تغییر می‌کند. این بدین معنی است که میانگین جذب به تغییر

و ضخامت لایه WO_3 تغییر می‌کند و در نمودار عبضخامت لایه WO_3 و Ag ثابت و برابر مقدار بهینه به دست آمده در قسمت قبل یعنی به ترتیب ۴۰ و ۱۰ نانومتر در نظر گرفته شده و ضخامت لایه V_2O_5 تغییر می‌کند. همان‌گونه که دیده می‌شود با تغییر ضخامت لایه WO_3 نسبت به حالت تغییر ضخامت لایه V_2O_5 شکل طیف جذبی تغییرات بیشتری دارد (هم از لحاظ شدت پیک جذبی و هم طول موج پیک جذبی). در واقع جذب در لایه جاذب سلول خورشیدی به تغییر ضخامت لایه WO_3 حساس‌تر از تغییر ضخامت لایه V_2O_5 است. در رابطه ۱۹ ضریب بازتاب و تغییر فاز V_2O_5 ناشی از بازتاب از سطح VAW لحاظ می‌شود. از آنجایی که عمدۀ بازتاب از سطح VAW از مرز Ag/WO_3 رخ می‌دهد، پس تغییر در ضخامت لایه WO_3 به طور مستقیم در φ_{DMD} ظاهر می‌شود و در نتیجه تغییر در ضخامت لایه WO_3 مستقیم در میدان الکتریکی، جذب و چگالی جریان مدار کوتاه اثرگذار است، در صورتی که تغییر در ضخامت لایه V_2O_5 فقط به اندازه تغییر در T_{DMD} نمود پیدا می‌کند. لازم به ذکر است در سلول خورشیدی پروسکایتی بررسی شده در اینجا، لایه WO_3 قبل از لایه آلی PEDOT:PSS قرار می‌گیرد و به عنوان یک لایه بافر و تزریق کننده حفره (HIL)^۱ باعث می‌شود لایه‌های Ag/WO_3 از نظر تابع کار برای آند شدن مناسب باشند. بر عکس، لایه V_2O_5 بیشتر برای تنظیم ویژگی‌های اپتیکی الکترود سه لایه‌ای استفاده می‌شود [۳۶].

¹ Hole injection layer

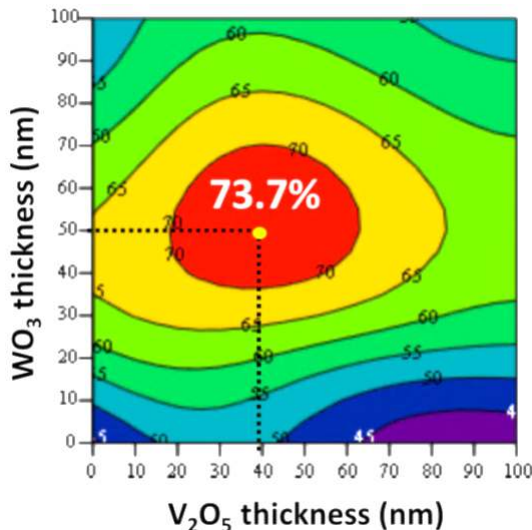
وجود دارد که توسط پارامترهای لایه جاذب و کاتد فلزی تعیین می‌شود و نقش DMD تنها در تعیین شدت مجدد میدان الکتریکی است [۲۸]. با مقایسه شکل‌های (الف) و (ب) مشخص است که تغییر ضخامت لایه V_2O_5 نسبت به تغییر ضخامت لایه WO_3 تأثیر بیشتری روی شدت میدان الکتریکی در لایه جاذب دارد. لایه WO_3 یکی از لایه‌های میکروکاواک است و تغییر ضخامت آن طول کاواک را تغییر می‌دهد و در نتیجه انتظار داریم شدت میدان الکتریکی را تغییر دهد، ولی لایه V_2O_5 تنها تأثیرش روی T_{DMD} است.



شکل ۸ مجدد میدان الکتریکی نسبی (نسبت به میدان فرودی (E_0) در طول موج ۶۰۰ نانومتر در لایه جاذب سلول خورشیدی پروسکایتی مورد بررسی (الف) برای ضخامت‌های مختلف لایه WO_3 (ب) برای ضخامت‌های مختلف لایه V_2O_5 در شکل ۹ نشان داده شده

تغییرات چگالی جریان مدار کوتاه (J_{SC}) سلول خورشیدی طراحی شده برحسب تغییر ضخامت لایه‌های V_2O_5 و WO_3 در شکل ۹ نشان داده شده

ضخامت لایه WO_3 بیشتر از تغییر ضخامت لایه V_2O_5 حساس است.



شکل ۹. میانگین جذب در لایه فعال سلول خورشیدی پروسکایتی مورد بررسی در محدوده طول موجی ۴۰۰ تا ۸۰۰ نانومتر برحسب تغییر ضخامت لایه‌های WO_3 و V_2O_5 .

شکل ۸ تغییرات نسبی مجدد میدان الکتریکی (نسبت به میدان فرودی (E_0) در لایه فعال سلول خورشیدی مورد مطالعه برحسب فاصله از مرز لایه فعال/لایه انتقال دهنده حفره و به طور نوعی برای طول موج ۶۰۰ نانومتر V_2O_5 را نشان می‌دهد. در شکل ۸(الف) ضخامت لایه V_2O_5 ثابت و برابر ۴۰ نانومتر در نظر گرفته شده و ضخامت لایه WO_3 تغییر می‌کند، و در قسمت ۸(ب) ضخامت لایه WO_3 ثابت ۴۰ نانومتر در نظر گرفته شده و ضخامت لایه V_2O_5 تغییر می‌کند. همان‌طور که دیده می‌شود مجدد میدان الکتریکی در لایه جاذب پروسکایتی روند نزولی دارد که این نشان دهنده کاهش شدت در این لایه است. نکته دیگر اینکه توزیع فضایی مجدد میدان الکتریکی در لایه جاذب مستقل از ساختار DMD است و با تغییر ضخامت لایه‌های DMD تنها شدت میدان تغییر می‌کند. در رابطه ۱۹، توزیع فضایی مجدد میدان الکتریکی در صورتِ کسر

ساخت سلول خورشیدی پروسکایتی

به منظور بررسی عملکرد الکترود بهینه شده، سلول خورشیدی پروسکایتی با ساختار زیر:

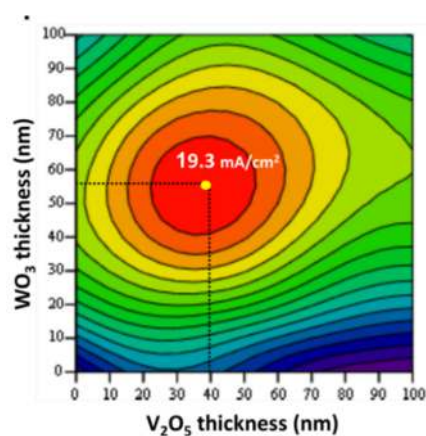
Glass/V₂O₅(40nm)/Ag(10nm)/WO₃(55nm)/
PEDOT:PSS(50nm)/CH₃NH₃PbI₃(300nm)/
PCBM(30nm)/Al(100nm)

ساخته شد. ابتدا زیرلایه‌های شیشه‌ای به ترتیب با استون، اتانول، متانول و دی‌کلرومتان به مدت ۱۰ دقیقه در دستگاه آلتراسونیک تمیز شدند. پس از شستشو با آب مقطر، قبل از قرار دادن در محفظه خلاً با گاز نیتروژن خشک شدند. لایه‌های الکترود سه لایه‌ای تحت خلاً $V_2O_5/Ag/WO_3$ میلی‌بار روی زیرلایه‌های تمیز شده و بدون شکستن خلاً به صورت متواالی با استفاده از دستگاه تبخیر حرارتی (مدل TE302 ساخت شرکت یارنیکان صالح ایران) انباشت شدند. در طی انباشت، نرخ انباشت لایه‌های WO_3 و V_2O_5 ۱ نانومتر بر ثانیه و Ag ۰.۵ نانومتر بر ثانیه انتخاب شدند. پس از لایه‌نشانی، الکترود سه لایه‌ای در هوا و در دمای $180^{\circ}C$ به مدت یک ساعت بازپخت شدند. برای این منظور، متوسط $90^{\circ}C/min$ افزایش دما تا رسیدن به دمای $180^{\circ}C$ انجام شد و پس از رسیدن به دمای مذکور ۰ دقیقه در این دما فرآیند بازپخت انجام شد. مقاومت این الکترود با دستگاه گمانه چهار نقطه‌ای ۵.۹ اهم بر مربع و میانگین ضرب عبور در ناحیه مرئی با دستگاه اسپکتروفوتومتر (مدل Shimadzu-UV 3100) ۸۸.۳ درصد اندازه‌گیری شد. بعد از آماده‌سازی الکترود با VAW، لایه انتقال دهنده حفره PEDOT:PSS با دستگاه لایه‌نشانی چرخشی (مدل VLC 409-G) روی الکترود VAW با سرعت ۳۲۰۰ دور بر دقیقه به مدت ۶۰ ثانیه لایه‌نشانی شد و سپس به مدت ۱۵ دقیقه در دمای $150^{\circ}C$ خشک شد. برای لایه‌نشانی لایه

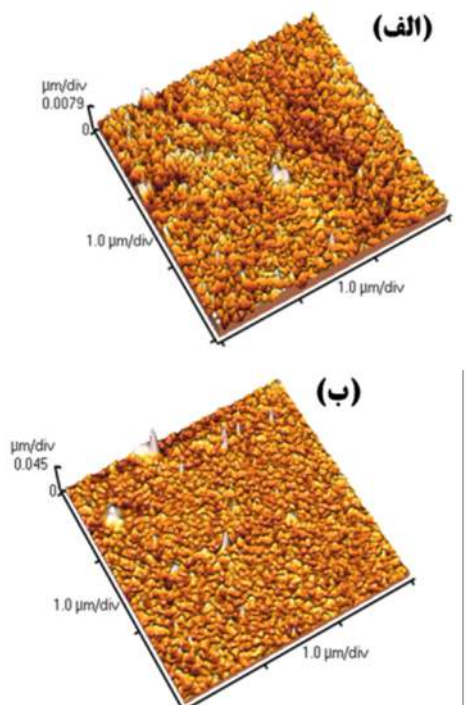
است. همان طوری که مشخص است بیشینه J_{SC} (۱۹,۳ mA/cm²) زمانی اتفاق می‌افتد که ضخامت لایه V_2O_5 ۴۰ نانومتر و ضخامت لایه WO_3 ۵۵ نانومتر باشد. مشاهده می‌شود برای یک ضخامت ثابت ۵۵ نانومتر از WO_3 ، وقتی ضخامت لایه V_2O_5 صفر تا صد نانومتر تغییر می‌کند، J_{SC} در محدوده ۱۷-۱۹,۳ mA/cm² ثابت می‌شود. همچنین با افزایش ضخامت لایه V_2O_5 از ۴۰ نانومتر تا ۵۵ نانومتر، وقتی ضخامت لایه WO_3 صفر تا صد نانومتر تغییر می‌کند، J_{SC} در محدوده ۱۳-۱۹,۳ mA/cm² است که حساسیت J_{SC} به تغییر ضخامت لایه WO_3 بیشتر از تغییر ضخامت لایه V_2O_5 است. به منظور مقایسه محاسبات J_{SC} برای سلول خورشیدی با الکترود ITO با ساختاری مشابه یعنی ساختار زیر:

Glass/ITO(120nm)/PEDOT:PSS(50nm)/CH₃NH₃PbI₃(300nm)/PCBM(30nm)/Al(100nm)
)

نیز انجام شد و مقدار 17.2 mA/cm^2 برای J_{SC} محاسبه شد. نتایج نشان می‌دهد که مقدار بیشینه J_{SC} محاسبه شده برای سلول خورشیدی مبتنی بر الکترود VAW شده برای سلول خورشیدی مبتنی بر الکترود 19.3 mA/cm^2 (۱۹٪) به اندازه ۲٪ از سلول مبتنی بر لایه‌های ITO بیشتر است.



شکل ۹. جریان چگالی مدار کوتاه J_{SC} محاسبه شده سلول خورشیدی پروساکایتی بر حسب تغییر ضخامت لایه‌های V_2O_5 و WO_3 .



شکل ۱۰. تصاویر AFM از سطح (الف: سه لایه‌ای VAW و ب: تجاری).

منحنی مشخصه J-V در تاریکی و تحت روشنایی سلول‌های خورشیدی پروسکایتی با الکترود VAW بهینه شده و ITO در شکل ۱۱ نشان داده شده است. همچنین پارامترهای فتوولتائیک مربوط به این سلول‌ها در جدول ۱ آورده شده است.

با استفاده از الکترود VAW به عنوان حضور لایه تزریق کننده حفره WO_3 و همچنین بهبود ویژگی‌های سطح الکترود، تزریق حامل‌های بار بهبود می‌یابد و منجر به افزایش چگالی جریان در حالت تاریکی نسبت به الکترود ITO می‌شود. جریان مدار کوتاه سلول خورشیدی پروسکایتی با الکترود VAW تحت روشنایی 17.6 mA/cm^2 است در حالی که این کمیت برای سلول خورشیدی پروسکایتی با الکترود ITO مقدار 15.9 mA/cm^2 است. ضریب پرشدنگی نیز از 49.34% درصد به 60.32% درصد ارتقاء می‌یابد.

پروسکایتی از روش دو مرحله‌ای استفاده شده است. در این روش ابتدا با روش لایه‌نمانی چرخشی با سرعت چرخش 4000 rpm دور بر دقیقه محلول یدید سرب روی لایه‌های قبلی لایه‌نمانی شد و سپس با غوطه‌ور کردن نمونه‌ها درون محلول متیل آمونیوم یدید به مدت ۵ دقیقه، لایه پروسکایتی تشکیل می‌شود. در نهایت نمونه‌های آماده شده در دمای 70°C به مدت ۲۰ دقیقه خشک شدند. روی لایه پروسکایتی لایه انتقال دهنده الکترون PCB م محلول در ۱ و ۲ دی کلروبنزن با دستگاه لایه‌نمانی چرخشی با سرعت 1200 rpm دور بر دقیقه در مدت ۰۰:۶۰ ثانیه لایه‌نمانی شد. در آخر هم کاتد Al به ضخامت 120 nm با استفاده از دستگاه تبخیر حرارتی در محفظه خلاً لایه نمانی شد. برای مقایسه، یک سلول خورشیدی پروسکایتی مشابه روی الکترود تجاری در دسترس ITO (با مقاومت سطحی 115 ohm بر مربع و عبور متوسط 86.2 mA درصد در ناحیه مرئی) همزمان ساخته شد. اندازه‌گیری منحنی‌های جریان- ولتاژ سلول‌های خورشیدی پروسکایتی تحت تابش نور و در تاریکی با استفاده از شبیه‌ساز خورشیدی با شدت 100 mw/cm^2 و دستگاه مشخصه یا ب Keithley 2400 (مدل 2400) انجام شد. از آنجایی که مورفولوژی سطحی الکترودها نقش مهمی در کاهش مقاومت تماسی و کاهش نشت جریان تماسی در سلول‌های خورشیدی ایفا می‌کند [۳۷]، از سطح سه لایه‌ای بهینه شده VAW و لایه ITO تجاری تصاویر AFM با استفاده از دستگاه میکروسکوپ نیروی اتمی Veeco-auto probe-cp_research AFM (مدل AFM) شد که در شکل ۱۰ نشان داده شده است. جذر میانگین مربعی ناهمواری سطحی (RMS) برای سه لایه‌ای VAW مقدار 1.31 nm و برای لایه ITO مقدار 2.82 nm تعیین شد که هموارتر بودن سطح الکترود VAW نسبت به ITO را نشان می‌دهد.

همکار [۴۰]، در سلول خورشیدی پروسکایتی از لایه $\text{SnO}_2/\text{Au}/\text{SnO}_2$ به عنوان جایگزین الکترود ITO بهره جستند که جریان مدار کوتاه آن $13/19 \text{ mA/cm}^2$ و بازده این سلول $8/3\%$ گزارش شد که مقدیرشان از نتایج ما کمتر هستند.

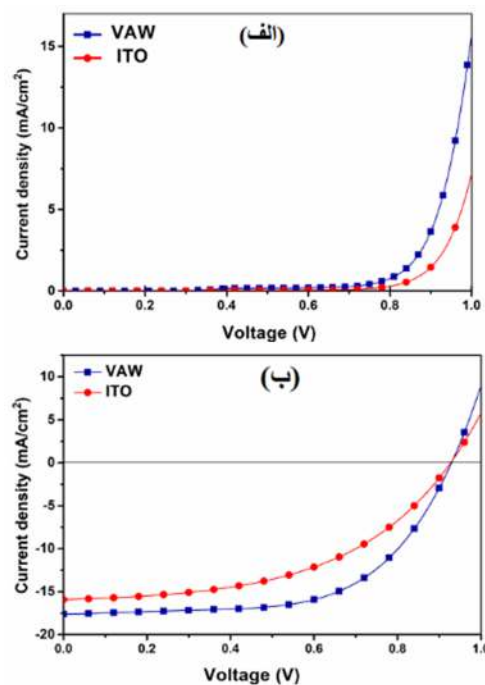
به طور کلی نتیجه می‌گیریم که ساختار چند لایه‌ای $\text{V}_2\text{O}_5/\text{Ag}/\text{WO}_3$ به عنوان یک الکترود مؤثر در سلول‌های خورشیدی پروسکایتی می‌تواند جایگزین مناسبی برای الکترود مرسوم ITO باشد.

جدول ۱. مشخصات سلول‌های خورشیدی پروسکایتی با الکترودهای متفاوت ITO و VAW

الکترود	J_{sc} (mA/cm^2)	V_{oc} (V)	FF (%)	η_p (%)
ITO	۱۵,۹۲	۰,۹۳	۴۹,۳۴	۷,۳۰
VAW	۱۷,۶۰	۰,۹۳	۶۰,۳۲	۹,۸۷

نتیجه گیری

در این مقاله سامانه چندلایه‌ای رسانای شفاف $\text{V}_2\text{O}_5/\text{Ag}/\text{WO}_3$ (VAW) به عنوان جایگزینی مناسب برای اکسید ایندیوم آلایده شده با قلع ITO با استفاده از نظریه ماتریس مشخصه لایه‌های نازک و با تکیه بر خواص اپتیکی طراحی و شبیه‌سازی شده است. ساختار بهینه سامانه سه لایه‌ای رسانای شفاف $\text{V}_2\text{O}_5(40\text{nm})/\text{Ag}(10\text{nm})/\text{WO}_3(40\text{nm})$ شد و مقدار تراگسیل متوسط برای این ساختار در ناحیه مرئی، ۹۵ درصد محاسبه شده است. با استفاده از روش ماتریس انتقال ویژگی‌های اپتیکی یک سلول خورشیدی پروسکایتی بر پایه الکترود سه لایه‌ای VAW با ساختار Glass/ $\text{V}_2\text{O}_5/\text{Ag}/\text{WO}_3/\text{PDOT:PSS}/\text{CH}_3\text{NH}_3\text{PbI}_3/\text{PCBM}/\text{Al}$



شکل ۱۱. منحنی مشخصه چگالی جریان- ولتاژ الف: در تاریکی، ب: تحت روشنایی با آندهای VAW و ITO .

افزایش چگالی جریان مدار کوتاه و ضریب پرشدگی در سلول بر پایه الکترود VAW ناشی از اثرات تزریق کنندگی حفره لایه WO_3 ، هموارتر بودن سطح لایه VAW و کمتر بودن مقاومت سطحی الکترود VAW نسبت به ITO است. همچنین، مشاهده می‌شود که V_{oc} هر دو سلول تقریباً یکسان هستند که این پدیده بدليل یکسان بودن پتانسیل داخلی دو سلول است [۳۸]. همچنین نتایج نشان داد بازده از مقدار $۷/۳\%$ به $۹,۸۷\%$ افزایش می‌یابد یعنی بازده تبدیل توان سلول خورشیدی پروسکایتی ساخته شده بر الکترود بهینه شده VAW بالاتر از سلول ساخته شده با الکترود ITO $۲,۵۷\%$ است. برای مقایسه دانگ^۱ و همکاران [۳۹]، از سامانه سه لایه‌ای AZO/Au/AZO به جای FTO در سلول خورشیدی پروسکایتی استفاده نمودند و بازده تبدیل توان $۹/۵\%$ را گزارش نمودند که قابل مقایسه با نتیجه حاصل از این پژوهش است. همچنین لاکارلی^۲ و

² Giulia Lucarelli

¹ Tran-Van Dang

8 19 (2018) 125-138.
<https://doi.org/10.22055/jrmbs.2018.13963>

[2] A. Mohammadbeigi, S.M. Ghorashi, The Study of Different Electron Transporting Materials on the Optical Performance of the Perovskite Solar Cells, *Journal of Research on Many-body Systems* **10** 1 (2020) 77-86.
<https://doi.org/10.22055/jrmbs.2018.13893>

[3] F. He, H. You, X. Li, D. Chen, S. Pang, W. Zhu, H. Xi, J. Zhang, C. Zhang, Transparent Ultrathin Metal Electrode with Microcavity Configuration for Highly Efficient TCO-Free Perovskite Solar Cells, *Materials* **13** (2020) 2328:1-13.
<https://doi.org/10.3390/ma13102328>

[4] P. Basumatary, P. Agarwal, A short review on progress in perovskite solar cells, *Materials Research Bulletin* **149** (2022) 111700.
<https://doi.org/10.1016/j.materresbull.2021.111700>

[5] S.H. Lee, G. Kim, J. Lim, K. Lee, M. Kang, High-performance ZnO:Ga /Ag/ZnO:Ga multilayered transparent electrodes targeting large-scale perovskite solar cells, *Solar Energy Materials and Solar Cells* **186** (2018) 378-384.
<https://doi.org/10.1016/j.solmat.2018.07.010>

[6] M. Girtan, B. Negulescu, A review on oxide/metal/oxide thin films on flexible substrates as electrodes for organic and perovskite solar cells, *Optical Materials: X* **13** (2022) 100122.
[https://doi.org/10.1016/j.omx.2021.100122.](https://doi.org/10.1016/j.omx.2021.100122)

[7] X. Liu, X. Guo, Z. Gan, N. Zhang, X. Liu, Efficient Perovskite Solar Cells Based on Multilayer Transparent Electrodes Through Morphology Control, *The Journal of Physical Chemistry C* **120** (2016) 26703–26709.
<https://doi.org/10.1021/acs.jpcc.6b10288>

[8] Z. Li, Stable Perovskite Solar Cells Based on WO_3 Nanocrystals as Hole Transport Layer, *Chemistry Letters* **44** (2015) 1140-1141.
<https://doi.org/10.1246/cl.150445>

[9] I. Jeon, J. Yoon, N. Ahn, M. Atwa, C. Delacou, A. Anisimov, E. Kauppinen, M.G.

نظیر جذب در لایه پروسکایتی و همچنین چگالی جریان مدار کوتاه فرمول بندی و محاسبه شد و نشان داده شد که این ویژگی‌ها از تغییر ضخامت لایه دی الکتریک WO_3 بیشتر از تغییر ضخامت لایه دی الکتریک V_2O_5 متأثر می‌شوند. در پایان شبیه‌سازی پیشینه J_{SC} ۱۹.۳mA/cm² برای ضخامت لایه اکسید وانادیوم ۴۰ نانومتر و ضخامت لایه اکسید تنگستن ۵۵ نانومتر به دست آمد که از مقدار J_{SC} محاسبه شده برای سلول خورشیدی پروسکایتی مبتنی بر الکترود ITO با ساختار مشابه (۱۷.۲mA/cm^2) به اندازه ۱۲٪ بیشتر است. در نهایت سلول خورشیدی پروسکایتی با الکترود بهینه شده VAW ساخته شد و با سلول خورشیدی پروسکایتی با الکترود ITO مقایسه شد. با استفاده از الکترود بهینه شده VAW مقدار چگالی جریان مدار کوتاه و ضربی پرشدگی ارتقا یافت و مقدار بازده تبدیل توان سلول خورشیدی پروسکایتی ITO ۲۵٪ نسبت به سلول ساخته شده بر الکترود O_۲ افزایش داشت. در مجموع ساختار چند لایه‌ای $\text{V}_2\text{O}_5/\text{Ag}/\text{WO}_3$ می‌تواند به عنوان یک الکترود مؤثر در سلول‌های خورشیدی پروسکایتی جایگزین مناسبی برای الکترود مرسوم ITO باشد.

سپاسگزاری

نویسندهان از معاونت پژوهشی دانشگاه کاشان و پژوهشکده نانو دانشگاه شهرکرد به خاطر حمایت‌هاییشان صمیمانه تقدیر و تشکر می‌نمایند.

مرجع‌ها

[1] M.J. Namvar, M.H. Abbaspour Fard, M.R. Roknabadi, A. Behjat, M. Mirzaei, investigating the effect of adding combined Rubidium-Cesium cations on the performance of FAMAPb(ІBr)₃ mixed halide and cation perovskite solar cells, *Journal of Research on Many-body Systems*,

- [15] M. Nejadzangeneh, S.M. Ghorashi, M. Ghasemi Varnamkhasti, Simulation and optimization of green organic light emitting diode based on $TiO_2/Ag/MoO_3$ multilayer electrode, *Optics & Laser Technology* **143** (2021)107290.
<https://doi.org/10.1016/j.optlastec.2021.107290>
- [16] F. Liang, Y. Lin, Z. He, W. Chen, Y. Zhu, T. Chen, L. Liang, M. Suman, Y. Wu, Promising ITO-free Perovskite Solar Cells with WO_3 -Ag-SnO₂ as Transparent Conductive Oxide, *Journal of Materials Chemistry A.* **6** (2018).
<https://doi.org/10.1039/C8TA08287A>
- [17] X. Xie, C. Wu, S. Sun, X. Xu, W. Xu, G. Qin, L. Xiao, Semitransparent Perovskite Solar Cells with Dielectric /Metal/Dielectric Top Electrodes, *Energy Technology* **8** (2019) 1900868.
<https://doi.org/10.1002/ente.201900868>
- [18] T. Babeva, H. Awala, J. Grand, K. Lazarova, M. Vasileva, S. Mintova, Optical and sensing properties of sol-gel derived vanadium pentoxide thin films with porous and dense structures, *Journal of Physics: Conference Series* **992** (2018) 012038.
<http://dx.doi.org/10.1088/1742-6596/992/1/012038>
- [19] P. Shangzheng, X. Li, H. Dong, D. Chen, W. Zhu, J. Chang, Z. Lin, H. Xi, J.F. Zhang, Efficient Bifacial Semitransparent Perovskite Solar Cells Using Ag/V₂O₅ as Transparent Anodes, *ACS Applied Materials & Interfaces* **10** (2018) 12731–12739.
<https://doi.org/10.1021/acsami.8b01611>
- [20] P. Gurudevi, P. Venkateswari, T. Sivakumar, C. Ramesh, P. Vanitha, Solution Processed WO_3 and PEDOT:PSS Composite for Hole Transport Layer in ITO-Free Organic Solar Cells, *Journal of Cluster Science* inpress (2022).
<https://doi.org/10.1007/s10876-022-02368-6>
- [21] R. Mewada, N. Bhagat, V. Saxena, S. Choudhury, A. Mahajan, A. Singh, K.P. Muthe, Low temperature processable crystalline WO_3 Langmuir-Blodgett ultra-thin film as blocking layer in solar cells application, *AIP Conference Proceedings*,
- Choi, S. Maruyama, Y. Matsuo, Carbon Nanotubes Versus Graphene as Flexible Transparent Electrodes in Inverted Perovskite Solar Cells, *The Journal of Physical Chemistry Letters* **8** (2017) 5395–5401.
<https://doi.org/10.1021/acs.jpclett.7b02229>
- [10] Y. Zhou, R. Azumi, Carbon nanotube based transparent conductive films: progress, challenges, and perspectives, *Science and Technology of Advanced Materials* **17** (2016) 493-516.
<https://doi.org/10.1080/14686996.2016.1214526>
- [11] P.C. Kao, C.J. Hsu, Z.H. Chen, S.H. Chen, Highly transparent and conductive $MoO_3/Ag/MoO_3$ multilayer films via air annealing of the MoO_3 layer for ITO-free organic solar cells, *Journal of Alloys and Compounds* **906** (2022) 164378.
<https://doi.org/10.1016/j.jallcom.2022.164387>
- [12] R. Hernandez Castillo, D. Canto-Reyes, A. Borges Pool, J.A. Mendez-Gamboa, M. Acosta, Influence of top layer thickness on the performance of WO_3 /Ag/ WO_3 -transparent electrodes, *Journal of Materials Science: Materials in Electronics* **32** (2021) 19063–19069.
<https://doi.org/10.1007/s10854-021-06422-3>
- [13] C. Park, J.W. Lim, J.H. Heo, S.H. Im, Color Implementation of High-Efficiency Perovskite Solar Cells by Using Transparent Multilayered Electrodes, Color Implementation of High-Efficiency Perovskite Solar Cells by Using Transparent Multilayered Electrodes. *ACS Appl. Energy Mater.* **5** (2022) 12151–12157.
<https://doi.org/10.1021/acsam.2c01658.s001>
- [14] H. Li, X. Li, W. Wang, J. Huang, J. Li, S. Huang, B. Fan, J. Fang, W. Song, Ultra flexible and biodegradable perovskite solar cells utilizing ultrathin cellophane paper substrates and $TiO_2/Ag/TiO_2$ transparent electrodes, *Solar Energy* **188** (2019) 158–163.
<https://doi.org/10.1016/j.solener.2019.05.061>

- [30] C.W. Chen, S.Y. Hsiao, C.Y. Chen, H.W. Kang, Z.Y. Huang, H.W. Lin, Optical properties of organometal halide perovskite thin films and general device structure design rules for perovskite single and tandem solar cells, *Journal of Materials Chemistry A* **3** (2015) 9152-9159. <https://doi.org/10.1039/C4TA05237D>
- [31] F. Cheng, P.-H. Su, J. Choi, S. Gwo, X. Li, C.-K. Shih, Epitaxial growth of atomically smooth aluminum on silicon and its intrinsic optical properties, *ACS Nano* **10** (2016) 9852-9860. <https://doi.org/10.1021/acsnano.6b05556>
- [32] Y. Jiang, S. Pillai, M.A. Green, Realistic Silver Optical Constants for Plasmonics, *Scientific Reports* **6** (2016) 30605. <https://doi.org/10.1038/srep30605>
- [33] M.G. Hutchins, O. Abu-Alkhair, M.M. El-Nahass, K. Abd El-Hady, Structural and optical characterisation of thermally evaporated tungsten trioxide (WO_3) thin films, *Materials Chemistry and Physics* **98** (2006) 401-405. <https://doi.org/10.1016/j.matchemphys.2005.09.052>
- [34] L. Boudaoud, B. Noureddine, R. Desfeux, B. Khelifa, C. Mathieu, Structural and optical properties Of WO_3 and V_2O_5 thin films prepared by Spray Pyrolysis, *Catalysis Today* **113** (2006) 230–234. <https://doi.org/10.1016/j.cattod.2005.11.072>
- [35] W. Sha, X. Ren, L. Chen, W. Choy, The Efficiency Limit of $\text{CH}_3\text{NH}_3\text{PbI}_3$ Perovskite Solar Cells-Supplementary Information, *Applied Physics Letters* **106** (2015) 22104. <https://doi.org/10.1063/1.4922150>
- [36] D. Han, H. Kim, S. Lee, M. Seo, S. Yoo, Realization of efficient semitransparent organic photovoltaic cells with metallic top electrodes: Utilizing the tunable absorption asymmetry, *Optics express* **18** (2010) 513-521. <https://doi.org/10.1364/OE.18.00A513>
- [37] J.C. Ke, Y.H. Wang, K.L. Chen, C.J. uang, Microcavity Enhancing the Performance Using $\text{WO}_3/\text{Au}/\text{WO}_3$ as Transparent Electrode various power O_2 plasma treatments on the indium tin oxide substrate, *Journal of Colloid and Interface Science* **2265** (2020) 030299. <https://doi.org/10.1063/5.0016670>
- [22] M.A. Cherif, A. Labiod, D. Barakel, S. Touihri, P. Torchio, Tailored $\text{ZnS}/\text{Ag}/\text{TiO}_x$ transparent and conductive electrode for organic solar cells, *EPJ Photovoltaics* **10** (2019) 1051. <https://doi.org/10.1051/epjpv/2019004>
- [23] H.A. Macleod, *Thin-Film Optical Filters*, (4th ed.) CRC Press, New York, (2010). <https://doi.org/10.1201/9781420073034>
- [24] M. Ghasemi Varnamkhasti, E. Shahriari, Influence of heat treatment on characteristics of $\text{In}_2\text{O}_3/\text{Ag}/\text{MoO}_3$ multilayer films as transparent anode for optoelectronic applications, *Journal of Applied Physics B* **120** (2015) 517-525. <https://doi.org/10.1007/s00340-015-6160-7>
- [25] G. Haacke, New figure of merit for transparent conductors, *Journal of Applied Physics*, **47** 9 (1976) 4086-4089. <https://doi.org/10.1063/1.323240>
- [26] L. Pettersson, L. Roman, O. Inganäs, Modeling photocurrent action spectra of photovoltaic devices based on organic thin films, *Journal of Applied Physics* **86** (1999) 487-496. <https://doi.org/10.1063/1.370757>
- [27] T. Bendib, H. Bencherif, M. Abdi, M. Faycal, L. Dehimi, M. Chahdi, Combined Optical-Electrical modeling of perovskite solar cell with an optimized design, *Optical Materials* **109** (2020) 110259. <https://doi.org/10.1016/j.optmat.2020.110259>
- [28] S. Han, S. Lim, H. Kim, H. Cho, S. Yoo, Versatile Multilayer Transparent Electrodes for ITO-Free and Flexible Organic Solar Cells, *IEEE Journal of Selected Topics in Quantum Electronics* **16** (2011) 1656-1664. <https://doi.org/10.1109/JSTQE.2010.2041637>
- [29] M. Soldera, A. Koffman-Frischknecht, K. Tarett, Optical and electrical optimization of all-perovskite pin type junction tandem solar cells, *Journal of Physics D: Applied Physics* **53** (2020) 315104. <https://doi.org/10.1088/1361-6463/ab8851>

Science 465 (2016) 311-315.
<https://doi.org/10.1016/j.jcis.2015.12.002>

[38] P. Shen, L. Shen, Y. Long , G. Chen, Indium Tin Oxide-Free Polymer Solar Cells: Microcavity Enhancing the Performance Using $\text{WO}_3/\text{Au}/\text{WO}_3$ as Transparent Electrode, in *IEEE Electron Device Letters* 35 (2014) 1109-1111.
<https://doi.org/10.1109/LED.2014.2357712>

[39] V.D. Tran, S.V.N. Pammi, J. Choi, S.G. Yoon, Utilization of AZO/Au/AZO multilayer electrodes instead of FTO for perovskite solar cells, *Solar Energy Materials and Solar Cells* 163 (2017) 58-65.
<https://doi.org/10.1016/j.solmat.2017.01.008>

[40] G. Lucarelli, T. Brown, Development of Highly Bendable Transparent Window Electrodes Based on MoO_x , SnO_2 , and Au Dielectric/Metal/Dielectric Stacks: Application to Indium Tin Oxide (ITO)-Free Perovskite Solar Cells, *Frontiers in Materials* 6 (2019) 310.
<https://doi.org/10.3389/fmats.2019.00310>